

محیط رسوی، ژئوشیمی و چینه نگاری سکانسی سازند جهرم در برش بلداجی، حوضه زاگرس

مینا خطیبی مهر^{*}، محمد حسین آدابی^۲، میررضا موسوی طسوج^۳، حسین وزیری مقدم^۴، عباس صادقی^۵

۱-دانشجوی دکتری رسبو شناسی، دانشکده علوم زمین، دانشگاه شهید بهشتی.

۲-استاد، دانشکده علوم زمین، دانشکده علوم زمین، دانشگاه شهید بهشتی.

۳-استادیار، دانشکده علوم زمین، دانشکده علوم زمین، دانشگاه شهید بهشتی.

۴-استاد، دانشکده علوم، دانشگاه اصفهان.

۵-دانشیار، دانشکده علوم زمین، دانشکده علوم زمین، دانشگاه شهید بهشتی.

پذیرش مقاله: ۱۳۹۲/۵/۲۵

تأیید نهایی مقاله: ۱۳۹۲/۱۲/۸

چکیده

نهشته‌های اؤسن سازند جهرم قابل دسترس در برش بلداجی شامل کربنات‌های سازند جهرم می‌باشد که از طریق جاده بلداجی به امامزاده حمزه‌علی قابل دسترسی است. قاعده مقطع مورد مطالعه را مارن‌ها و شیل‌های سازند پابده تشکیل می‌دهد، ضخامت برداشت شده از این رسوبات ۱۷۲ متر می‌باشد. بر اساس توزیع و گسترش فرامینیفرها و دیگر اجزاء اسکلتی و غیر اسکلتی، ^۹ میکروfasیس شناسایی گردیده است.

این میکروfasیس‌ها در یک محیط شلف از نوع حاشیه‌دار تشکیل گردیده که در سه زیر محیط رسوی شلف داخلی، شلف میانی و شلف خارجی ته نشست شده است. علاوه بر مطالعات پتروگرافی، از مطالعات ژئوشیمیایی عنصری (Fe, Mn, Na, Sr) و نسبت Sr/Na نیز به منظور تعیین ترکیب کانی‌شناسی اولیه و مطالعات دیاژنتیکی استفاده شده است. از تجزیه ایزوتوب‌های پایدار اکسیژن (¹⁸O ‰) و کربن (¹³C ‰) جهت تعیین دمای قدیمه این نهشته‌ها، سیستم دیاژنتیکی باز و بسته (¹⁸O δ در مقابل Mn) و روند دیاژنز استفاده شده‌اند. این مطالعات حاکی از ترکیب کانی‌شناسی اولیه آراغونیتی (واقع در دریاهای گرم نواحی نیمه حاره‌ای)، در یک سیستم بسته تا نیمه بسته با تبادل آب به سنگ پایین می‌باشد. روند دیاژنز در آهک‌ها بر اساس تغییرات ایزوتوبی اکسیژن و کربن یک روند دیاژنز تدفینی با حضور مواد آلی را نشان می‌دهد. دمای قدیمه محاسبه شده در آهک‌ها (میکرایت) بر اساس سنگین‌ترین ایزوتوب اکسیژن ۱۸ یعنی دمای اولیه دیاژنتیکی (هنگامی که رسوبات در نزدیک سطح بوده‌اند، عمق کم تدفین) (معادل PDB ۳/۶۷‰) و ایزوتوب اکسیژن آب دریای اؤسن معادل ۸۵‰-۰، ۲۹ درجه سانتیگراد تعیین گردیده است.

با استفاده از مطالعات صحرایی و بررسی تغییرات عمودی رخساره‌ها در طول توالی سازند جهرم، سطوح اصلی سکانسی و مرز سکانس‌ها و در نتیجه تعداد سکانس‌های رسوی تعیین گردیده است. سازند جهرم در برش

بلداجی از ۶ سکانس رسوی درجه سوم (سکانس‌های کم عمق شونده به سمت بالا) تشکیل گردیده است. مرز سکانس‌ها از نوع SB_2 بوده و مرز سطح حداکثر پیش‌روی آب دریا (mfs) با رخساره‌های عمیق دریا مشخص شده است.

بطور کلی سیستم تراکت‌هایی پیش‌رونده (TST) عمدتاً شامل رخساره‌های مارنی، وکستونی تا پکستونی است که در این سیستم تراکت فرامینیفرهای منفذدار نظیر نومولیتیده و دیسکو-سیکلینیده‌های بزرگ و پهن یافته می‌شود. سیستم تراکت HST عمدتاً از رخساره‌های گرینستونی (رخساره سد) همراه با رخساره‌های وکستونی-پکستونی تا روستونی محیط لاغون تشکیل گردیده است که دارای فرامینیفرهایی با پوسته پورسلانوز نظیر آلوئولین، اوربیتولیتس و میلیولید می‌باشد.

واژه‌های کلیدی: محیط رسوی، ژئوشیمی، چینه نگاری سکانسی، اوسن، حوضه زاگرس.

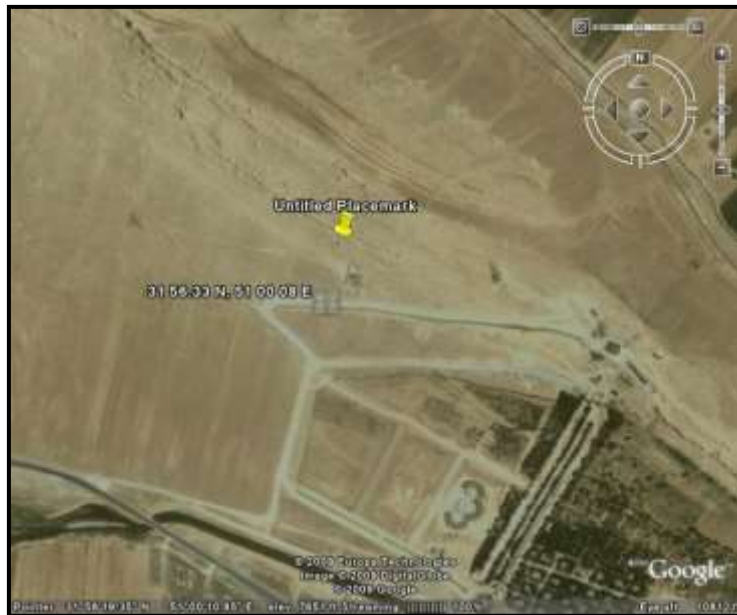
شامل: آهک، همراه با میان لایه‌های آهک مارنی و گاه‌اً مارن خاکستری می‌باشد. هدف از این تحقیق بررسی محیط رسوی، شرایط دیاژنتیکی، چینه-نگاری سکانسی در برش بلداجی و نیز مطالعه و مقایسه شرایط ژئوشیمیایی دو برش بلداجی و کوه گچ (سازند جهرم) با سن مشابه می‌باشد. مقطع مورد مطالعه در منطقه امام زاده حمزه‌علی دارای مختصات $N:31^{\circ} 56.33'$ و $E:51^{\circ} 00.08'$ بوده و از طریق جاده بلداجی قابل دسترسی است. نقشه جغرافیایی و تصویر ماهواره‌ای در شکل‌های ۱ و ۲ به ترتیب نشان داده شده است.

مقدمه

نهشته‌های اوسن واقع در استان چهارمحال و بختیاری در منطقه بلداجی شامل کربنات‌های سازند جهرم می‌باشد. نهشته‌های اوسن سازند جهرم قابل دسترس در برش بلداجی از کربنات‌های سازند جهرم می‌باشد که از طریق جاده بلداجی به امام‌زاده حمزه‌علی قابل دسترسی است. قاعده مقطع مورد مطالعه را مارن‌ها و شیل‌های سازند پابده تشکیل می‌دهد. مارن‌ها و شیل‌های مذکور توسط ضخامت قابل ملاحظه‌ای از واریزه پوشیده می‌باشد. رأس مقطع مذکور نیز توسط آبرفت پوشیده است. این رسوبات ۱۷۲ متر



شکل ۱: نقشه جغرافیائی و راههای دسترسی به مقطع مورد مطالعه (اقتباس با تغییراتی از اطلس راههای ایران، بختیاری ۱۳۹۰).



شکل ۲: تصویر ماهواره‌ای از ناحیه مورد مطالعه (Google Earth).

قسمت‌های مناسب که کمترین دگرسانی و به دور از قطعات فسیلی قرار داشتند مشخص گردید. در مرحله بعد با متنه دندانپزشکی از نمونه‌ها پودر تهیه گردید. نمونه‌های پودر پس از آماده‌سازی توسط دستگاه جذب اتمی (AAS) در دانشکده علوم زمین دانشگاه شهید بهشتی تحت آنالیز عنصری قرار گرفت.

روش کار به این ترتیب است که ۰/۱۲۵ گرم نمونه را در محلول یک مول اسید کلریدریک قرار داده و پس از مدت زمان دو ساعت با دستگاه اسپکتروفتومتر جذب اتمی، مقادیر عناصر اصلی (شامل Ca و Mg) بر حسب درصد و عناصر فرعی (شامل Fe, Mn, Na, Sr) بر حسب پی‌پی‌ام اندازه‌گیری شده است. سپس مقادیر مواد غیر قابل حل در اسید (IR) تعیین شده است.

برای تعیین مقادیر ایزوتوپ‌های پایدار‌اکسیژن ($\delta^{18}\text{O}$) و کربن ($\delta^{13}\text{C}$ %)، تعداد ۱۵ نمونه از پودر سنگ آهک‌ها که مورد آزمایش جذب اتمی قرار گرفته بودند انتخاب و به مرکز آزمایشگاهی علوم (CSL) دانشگاه تاسمانیا در استرالیا ارسال گردید. انتخاب نمونه‌ها به گونه‌ای بود که تقریباً

روش مطالعه

در این مطالعه به منظور شناسایی انواع رخساره‌ها و تعیین محیط رسوبی از مطالعات پتروگرافی استفاده شده است. ضخامت برداشت شده از رسوبات این ناحیه ۱۷۲ متر بوده و تعداد ۸۹ مقطع نازک از آنها تهیه و مطالعه گردید. رخساره‌های کربناته به ترتیب از سمت خشکی به سمت دریا در جهت افزایش عمق در مقاطع مورد مطالعه به تفکیک تعبیر و تفسیر گردید. نامگذاری رخساره‌های سنگی میکروسکوپی و فابریک ته نشینی در برشهای کربناته مورد مطالعه بر اساس روش دانهام (۱۹۶۲) انجام گرفته است. سپس توالی رسوبات کربناته به صورت عمودی بررسی شده و ضمن مقایسه با میکروفاسیس‌های استاندارد ارائه شده توسط فلوگل (۲۰۱۰) و به ویژه شلف نوع حاشیه‌دار کربناته (فلوگل، ۲۰۱۰) مدل رسوبی آن تعیین شده است.

به منظور مطالعه ژئوشیمی سنگ‌های کربناته رسوبات اؤسن برش بلداجی، پس از مطالعه دقیق پتروگرافی مقاطع نازک تعداد ۴۰ نمونه آهکی که دارای بیشترین زمینه میکریتی بوده‌اند انتخاب و

۲۰۰۰). حضور میلیولید به همراه پلوئید بیانگر محیط لاغون می‌باشد (فلوگل، ۲۰۱۰). فراوانی میلیولید بیانگر محیط با شوری زیاد به همراه مواد غذایی زیاد می‌باشد (گیل، ۲۰۰۰). ویلسون، ۱۹۷۵ حضور فراوان پلوئیدها را به محیط لاغون نسبت داده است. بنابراین شواهد فوق حاکی از ته نشست این رخساره در محیط لاغون با شوری زیاد و غذای فراوان است.

۲- فرامینیفر بدون منفذ پلوئید پکستون- رودستون:

از اجزای اصلی این رخساره می‌توان به فرامینیفرها با دیواره بدون منفذ با تنوع بالا (پرسلانوز و آگلولوئینه) همراه با ذرات غیر اسکلتی پلوئید اشاره نمود. فرامینیفرها به طور عمده شامل اوربیتولیتس (orbitolites)، سومالینا (somalina)، کاسکینولینا (coskinolina)، آلؤلینا (miliolids) و میلیولید (alveolina) می‌باشد (شکل ۳). پلوئید به همراه ذرات غیر اسکلتی مشاهده می‌شود. این رخساره معادل SMF 18 فلوگل است.

تفسیر: در بخش بالایی ناحیه نوری بیشتر فرامینیفرها بزرگ پرسلانوز که اکثرشان با داینوفیسه‌آ، کلروفیسه‌آ یا رودوفیسه‌آ همزیستند، فراوان می‌باشند (لاتنگر، ۱۹۸۴؛ رومرو و همکاران، ۲۰۰۲). حضور فراوان فرامینیفرها بدون منفذ محیطی تا حد فوق شور (بخش داخلی پلاتفرم) را نشان می‌دهد (گیل، ۲۰۰۰، رومرو و همکاران، ۲۰۰۲). ویلسون (۱۹۷۵) حضور فراوان پلوئیدها را به محیط لاغون نسبت داده است. تنوع و فراوانی زیاد فرامینیفرها پرسلانوز در این ریز رخساره، حاکی از تشکیل آن در شرایط دریایی نیمه محصور همراه با نور شدید، انرژی متوسط، پایداری نسبتاً کم کف بستر و شرایط الیگوتروفی و تا حدی مزوتروفی می‌باشد.

تمامی ستون سنگشناسی کوه بلداجی را پوشش دهد.

روش استاندارد آماده‌سازی نمونه‌ها به این ترتیب است که ۱۵ میلی‌گرم از نمونه به مدت ۲۴ ساعت تحت تاثیر اسید فسفریک ۱۰۰ درصد و در دمای ۲۵ درجه سانتیگراد قرار گرفته تا گاز CO_2 متصاعد شده از هر نمونه به کمک دستگاه اسپکترومتر جرمی (VG SIRA series II) اندازه‌گیری شود. خطای اندازه‌گیری ایزوتوبی $\pm 0.001\%$ بوده است. ترکیب ایزوتوبی اکسیژن و کربن یک نمونه به صورت دلتا (δ) و بر حسب در هزار (permil) (permil) بیان می‌گردد و نسبت به استاندارد مرجع PDB سنجیده می‌شود.

توصیف میکروفاسیس‌ها

در برش بلداجی رخساره‌های بخش‌های کم عمق (منطقه پهنه جذر و مدی) مشاهده نگردیده است.

Rxساره‌های لاغون (Lagoon) مربوط به شلف داخلی

۱- آلؤلینا میلیولید اینتراکلاستیک پلوئیدال پکستون-گرینستون: به طور عمده از پلوئید و اینتراکلاست همراه با فرامینیفرهای بدون منفذ با تنوع کم مانند آلؤلین (miliolines) و میلیولید (alveolinids) تشکیل شده است. از اجزای دیگر میتوان به خrede‌های اکینودرم اشاره نمود. بافت سنگ با توجه به میزان انرژی از پکستون تا گرینستون متغیر می‌باشد (شکل ۳). این رخساره معادل SMF 18 فلوگل است.

تفسیر: میلیولیدهای بدون همزیست هستند که می‌توانند در آب‌های بسیار کم عمق از نیمه شور تا فوق شور زندگی کنند (گیل،

حمایت قرار می‌دهد) را پیشنهاد می‌کند (کوسویک و همکاران، ۲۰۰۴). جلبک قرمز کورالیناسه آ در شوری نرمال دریایی زندگی می‌کند و شوری بیش از ۵۰ psu را نمی‌تواند تحمل کند (شکل ۳). این رخساره معادل SMF 11 فلوگل است.

تفسیر: حضور همزمان فرامینیفرهای بنتیک بزرگ (نظیر دیسکوسیکلینا و نومولیتس) و کورالیناسه‌آ، رسوب‌گذاری رخساره‌ی مذکور بر روی بخش‌های کم‌عمق‌تر شبیه پلاتفرم در منطقه‌ی یوفوتیک را نشان می‌دهد (خطیبی مهر و آدابی، ۲۰۱۳). بنابراین می‌توان نتیجه گرفت که رخساره مذکور نسبت به ریز رخساره ۵ در ناحیه نوری بالاتری نهشته شده است. حضور کورالیناسه‌آ و همراهی آن با فرامینیفرها کفzی بزرگ و نیز ترکیب بافتی موجود بیانگر بخش میانی پلاتفرم کربناته (شلف میانی) و شرایط الیگوتروفی می‌باشد (پدلی، ۱۹۹۶؛ پومار، ۲۰۰۱). این رخساره توانسته است یک پشته گلی بایوکلستی را ایجاد کند.

۵- بایوکلاست دیسکوسیکلینیده نومولیتیده (پوسته‌های کوچک و عدسی شکل) وکستون - پکستون

فونای غالب این رخساره مشابه رخساره قبلی بوده و شامل فرامینیفرها کفzی بزرگ با دیواره‌ی آهکی منفذدار می‌باشند با این تفاوت که صدف‌ها متورم و قطر آن‌ها کم است. سایر فونا نیز مشابه رخساره قبلی است. این عناصر در زمینه گلی وکستون - پکستون قرار دارند (شکل ۳).

تفسیر: فرامینیفرهای که دارای دیواره ضخیم و متورم بوده نسبت به آنها‌ی که حالت کشیده‌تر و پوسته نازک‌تر دارند در اعماق کمتری زیست می‌کنند (بارتالو و همکاران، ۲۰۰۷؛ آدابی و

۳- بایوکلاست نومولیتیده آلوئولینیده پلوبید وکستون پکستون:

این رخساره به‌طور عمده شامل مخلوطی از فرامینیفرها با دیوار بدون منفذ مانند سومالینا (somalina)، اوربیتولیتس (orbitolites)، آلوئولینا (alveolina)، کاسکینولینا (coskinolina)، میلیولید (miliolids)، دیسکوسیکلینا (discocyclina) و فرامینیفرهای منفذدار نظیر نومولیت (Nummulites)، اپرکولینا (Operculina) و روتالید (Rotaliids) به همراه پلوبید می‌باشد. از اجزای فرعی این رخساره می‌توان به وجود اکینودرم و گاه‌اً بریوزوئر اشاره کرد (شکل ۳). این رخساره معادل SMF 16 فلوگل است.

تفسیر: هم‌یافته فرامینیفرها منفذدار که شوری نرمال دریایی را تحمل می‌کنند و فرامینیفرها بدون منفذ خاص بخش‌های درونی پلاتفرم بوده و حاکی از آن است که سد مؤثری برای جدایی پلاتفرم درونی از دریای باز وجود ندارد (گیل، ۲۰۰۰، رومرو و همکاران، ۲۰۰۲). بنابراین حضور فرامینیفرها بدون منفذ و منفذدار بیانگر تشکیل این رخساره در محیط لاغونی نیمه محصور با شوری نسبتاً نرمال دریایی در بخش بالایی زون یوفوتیک (رنما، ۲۰۰۶) می‌باشد.

شلف میانی (ناحیه ریفی) ۴- کورالینا سه‌آ دیسکوسیکلینیده نومولیتیده فلوکستون-رودستون:

اجزاء اصلی تشکیل دهنده این رخساره شامل کورالیناسه‌آ همراه با فرامینیفرهای بنتیک بزرگ با دیواره‌ی آهک منفذدار می‌باشند. فرامینیفرهای بنتیک این رخساره شامل آسیلینا، نومولیتس و دیسکوسیکلینا و به میزان کمتر روتالیا و میلیولید می‌باشند، که در زمینه‌ی گلی قرار می‌گیرند.

پیدایش کورالیناسه‌آ آبهای کم‌عمق تا نسبتاً عمیق (جایی که نور تجمع فرامینیفرها را مورد

(ویکسی و همکاران، ۱۹۹۹). دیواره‌های جانبی نازک و کشیدگی پوسته‌ها نشان می‌دهد این روزن داران در بخش ژرف‌تر ناحیه‌ای الیگوفوتیک در زیر قاعده تأثیر امواج عادی می‌زیسته‌اند (پومار و همکاران، ۲۰۰۴؛ خطیبی مهر و آدابی، ۲۰۱۳)، زیرا این فرامینیفرها با پوسته‌های نازک و پهن شان محیط‌های کم‌نورتر و کمانزشی‌تر را ترجیح می‌دهند (ریسر، ۲۰۰۰). محیط تشکیل این ریزرساره بخش عمیق‌تر شلف میانی یا محیط سراشیب در نظر گرفته می‌شود (رومرو و همکاران، ۲۰۰۲؛ کوردا و برندانو، ۲۰۰۳).

رساره‌های شلف خارجی

- **رساره برش آهکی (رساره توربیدایتی):** قطعات آهکی و درون حوضه‌ای دانه‌های این برش را تشکیل میدهند. قطر آنها از چند میلی‌متر تا ۱۵ سانتی‌متر میرسد. درون قطعات میتوان روزنه داران از خانواده آلولئینیده، دیسکوسیکلینیده و نومولیتیده را به فراوانی مشاهده نمود. در ماتریکس اتصال دهنده دانه‌ها تنها نومولیتیده و دیسکوسیکلینیده با صدف نازک و فرامینیفرهای پلانکتون دیده می‌شود (شکل ۳). تفسیر: با توجه به شواهد صحرایی و میکروسکوپی و قرارگیری این رخساره در این محل (بر روی رخساره‌های پلانکتونیک فرامینیفر نومولیتیده دیسکوسیکلینیده وکستون و رخساره مارن) می‌توان تشکیل این رخساره را به جریانهای توربیدایتی نسبت داد.

- **پلانکتونیک فرامینیفر نومولیتیده دیسکوسیکلینیده وکستون:**

این رخساره بوسیله حضور همزمان فرامینیفرها کفزی بزرگ و پلانکتون‌ها (گلوبی ژرینیدها و گلوبوروتالیدها) مشخص می‌شود. فرامینیفرهای

همکاران، ۲۰۱۰؛ خطیبی مهر و آدابی، ۲۰۱۳) این رخساره معادل SMF 7 فلوگل است. فراوانی نومولیتیدهای متورم با دیواره ضخیم در تعدادی از نمونه‌هایی که این رخساره را نشان می‌دهند حاکی از افزایش نور می‌باشد بنابراین شواهد فوق حاکی از تشکیل این نمونه‌ها در قسمت نزدیک‌تر بخش کم‌عمق دریایی باز (بخش جلوی شلف میانی یا محیط سراشیب) می‌باشد (خطیبی مهر و معلمی، ۱۳۸۸).

۶- بايوکلاست ديسكوسيلينيده نوموليتيده (پوسته‌های بزرگ و باریک) وکستون - پکستون /فلوتستون-رودستون:

فونای غالب این رخساره شامل فرامینیفرهای کفزی بزرگ با دیواره آهکی منفذدار می‌باشند که در زمینه گلی وکستون - پکستون قرار دارند. بر اساس اندازه دانه‌های موجود بافت به فلوتستون-رودستون نیز تغییر می‌کند. قطر صد فرامینیفرهای منفذدار اغلب زیاد و تحدب آنها کم می‌باشد. ولی در تعدادی از نمونه‌ها صدف متورم و قطر آن کم است. فرامینیفرهای منفذدار شامل آسیلینا، اپرکولینا، نومولیتس، دیسکوسیکلینا و اکتینوسیکلینا می‌باشند. از اجزای فرعی این رخساره پلوئید، اکینودرم، میلیولید، آلولئینا و روتالیا می‌باشد (شکل ۳). این رخساره معادل SMF 6 فلوگل است.

تفسیر: وجود فونای متعلق به شوری نرمال دریایی یعنی فرامینیفرهای بنتیک بزرگ با دیواره منفذدار نشان دهنده تشکیل این رخساره در محیط دریایی باز می‌باشد (گیل، ۲۰۰۰؛ ریسر و همکاران، ۲۰۰۵). فراوانی فرامینیفرهای بزرگ با پوسته مسطح روتالیدی مانند اپرکولینا، دیسکوسیکلینا و اکتینوسیکلینا نشانه تشکیل رسوب در نزدیکی قاعده ناحیه نوری است

۹- رخساره مارن:

این رخساره متشکل از مارنهای سیز رنگ می‌باشد. نمونه‌های ایزوله به دست آمده از این مارنها شامل فرامینیفرهای پلانکتون مانند گلوبیژرینیدها و گلوبوروتالیدها تشکیل می‌دهند. سایر تاکسون‌ها فرامینیفرهای کوچک کفازی هستند. این رخساره معادل ۲ RMF فلوگل است. تفسیر: روزنداران پلانکتون بخش ژرف حوضه را مشخص می‌کند. این رخساره، بیانگر انرژی هیدرودینامیکی پایین محیط رسوبی کم انرژی و آب‌های عمیق دریای باز، زیر سطح اساس امواج طوفانی و پایین‌تر از زون نوری (Oligophotic) می‌باشد (کوسویک و دروبون، ۲۰۰۴؛ برایگود و همکاران، ۲۰۰۹).

جایگاه رسوبی این رخساره، فقدان نشانه‌های نوری مؤثر مانند فرامینیفرها بزرگ همزیستدار و جلبک قرمز) بیانگر انرژی پایین محیط رسوبی و رسوب‌گذاری رخساره‌ی مذکور در آب‌های عمیق دریای باز، زیر سطح اساس امواج طوفانی و پایین‌تر از زون نوری می‌باشد (رومرو و همکاران، ۲۰۰۲؛ کردا و برندانو، ۲۰۰۳؛ کوسویک و همکاران، ۲۰۰۴).

وفور فرامینیفرها پلازیک بخش پایینی شب خارجی به‌سمت حوضه (بخش خارجی پلاتفرم کربناته) را به عنوان محیط رسوبی تشکیل این رخساره پیشنهاد می‌کند (وبلسون، ۱۹۷۵؛ گیل، ۲۰۰۰؛ فلوگل، ۲۰۱۰).

مدل رسوبی سازند جهرم در برش بلداجی
بر اساس شواهد رسوبات رسوبات ریزشی (رخساره شماره ۷)، چگونگی پراکندگی فرامینیفرها و شناسایی و تفکیک رخساره‌های سنگی موجود، مدل رسوبی پیشنهاد شده برای برش مورد مطالعه یک شلف از نوع حاشیه‌دار می‌باشد که در سه زیر محیط

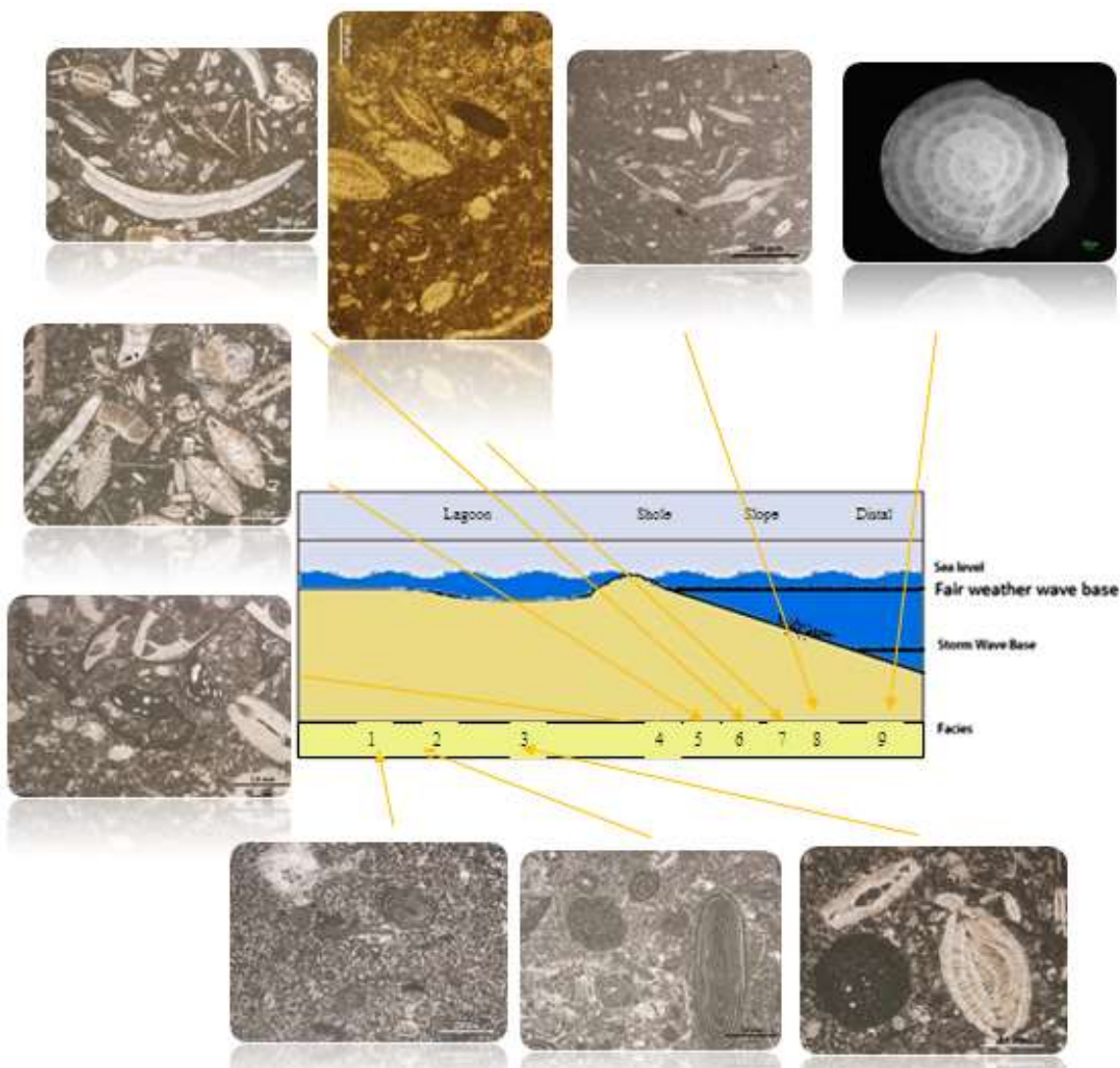
پلانکتونیکی منعکس کننده محیط عمیق، آرام با شوری نرمال و متعلق به بخش پایینی محیط سراشیب (Slope) می‌باشد (کوسویک و همکاران، ۲۰۰۴). فرامینیفرهای کفازی شامل اپرکولینا، نومولیتس، دیسکوسیکلینا و اکتینوسیکلینا می‌باشند. دانه‌های فوق در بافت گلی و کستونی قرار دارند. نومولیتیده‌ها و دیسکوسیکلینیده‌ها دارای دیواره‌ی نازک با صدف مسطح و غالباً طویل هستند. وجه تمایز این رخساره از رخساره بعدی حضور فرامینیفرهای بنتیک بزرگ با دیواره‌ی هیالین نازک و کشیده و نیز فرامینیفرهای پلازیک کمتر می‌باشد. در گذر از این رخساره به رخساره بعدی به‌طور محسوس شاهد یک کاهش تدریجی در میزان فرامینیفرهای پلازیک و کفازی با اندازه‌ی کوچک و یک افزایش تدریجی در تعداد فرامینیفرها بنتیک بزرگ با دیواره نازک می‌باشیم. در برخی مقاطع بافت این رخساره به مادستون - وکستون تغییر می‌یابد (شکل ۳). این رخساره معادل SMF ۳ فلوگل است.

تفسیر: حضور همزمان فرامینیفرهای بزرگ کفازی و پلانکتون، بخش پایینی محیط سراشیب (عمیقترین بخش ناحیه‌ی نوری زیرین) را مشخص می‌کند (رومرو و همکاران، ۲۰۰۲؛ ریسر و همکاران، ۲۰۰۵؛ کردا و برندانو، ۲۰۰۳).

فرامینیفرهای منفذدار مانند نومولیتیده و دیسکوسیکلینیده‌های بزرگ و پهن (همزیستدار) در عمیقترین بخش‌های حوضه تا مرز زیرین زون نوری زیست می‌کنند (وکسی و سدرز، ۱۹۹۹؛ رومرو و همکاران، ۲۰۰۲؛ کردا و برندانو، ۲۰۰۳). وجود فونای متعلق به شوری نرمال دریایی (روزن داران کفازی بزرگ با دیواره‌ی هیالین) در کنار روزن داران پلانکتون نشان دهنده‌ی تشکیل این رخساره در پایین‌ترین قسمت زون نوری می‌باشد (گیل، ۲۰۰۰؛ رومرو و همکاران، ۲۰۰۲).

به دو بخش لاغون نسبتاً محصور و لاغون نیمه محصور در طول توالی تقسیم می‌شود (شکل ۳).

رسوی شلف داخلی، شلف میانی و شلف خارجی ته نشست شده است. زیرمحیط رسوی شلف داخلی

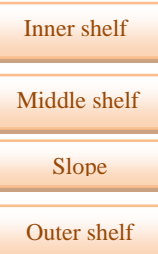


شکل ۳: محیط رسوی و رخساره‌های شناسایی شده در برش بلداجی، شامل:

- 1- Alveolina miliolid intraclastic peloidal packstone – grainstone
- 2- Imperforate foraminifera peloidal packstone – rudstone
- 3- Bioclast nummulitidae alveolinidae peloidal wackestone – packstone
- 4- Corallinacea discocyclinidae nummulitidae floatstone – rudstone
- 5- Bioclast small discocyclinidae nummulitidae wackestone – packstone
- 6- Bioclast large discocyclinidae wackestone – packstone – rudstone
- 7- Limestone Breccia
- 8- Planktonic foraminifera nummulitidae discocyclinidae wackestone
- 9- Marl

اربیتولیتس، آلوفولین و میلیولید می‌باشد. تنوع و فراوانی زیاد فرامینیفرها پورسلانوز در محیط لاغونی نسبتاً محصور، حاکی از تشکیل رخساره‌ها

در رخساره لاغون نسبتاً محصور بافت سنگ پکستون تا رودستون است و حاوی فرامینیفرها پورسلانوز مانند سومالینا، کاسکینولینا،



سدیم (Na) مقدار Na در سنگ آهکهای آراغونیتی غیر بیوتیک (Abiotic) حاره‌ای عهد حاضر بین ۱۵۰۰ تا ۲۷۰۰ پی‌پی ام (میانگین ۲۵۰۰ پی‌پی ام) در تغییر است (رائو و آدابی، ۱۹۹۲)، در حالی که در کلسیت‌های کم منیزیم غیر بیوتیک نواحی معتدله تمرکز Na حدود ۲۷۰ پی‌پی ام می‌باشد. دامنه تغییرات سدیم در کلسیت ارگانیکی (Biotic) بیشتر از کلسیت غیر ارگانیکی (Abiotic) است (رائو، ۱۹۹۰). میزان Na در کلسیت‌های ارگانیکی به مرتب بیشتر از میزان Na در آراغونیت و کلسیت کم منیزیم (LMC) غیر بیوتیک است (رائو و امینی، ۱۹۹۵). این اختلاف زیاد به علت تفریق بیوشیمیایی می‌باشد (لند و هوپ، ۱۹۷۳؛ رائو، ۱۹۹۰). در برش بلداجی مقدار سدیم بین ۵۰ تا ۱۶۱ پی‌پی ام و به طور میانگین ۱۰۸ پی‌پی ام در نوسان است. ترسیم مقادیر Na در مقابل Mn در برش بلداجی و مقایسه آن با محدوده‌های ارائه شده در مقالات بین‌المللی (شکل D، ۴B) حاکی از ترکیب کانی-شناسی اولیه آراغونیتی این سازند می‌باشد. کربناتهای سازند جهرم در برش گچ نیز دارای همین ویژگی است (خطیبی مهر و آدابی، ۱۳۹۲).

منگنز (Mn) میزان Mn در کربناتهای آراغونیتی واقع در دریاهای گرم و کم عمق عهد حاضر بسیار پایین (حدود ۲۰ پی‌پی ام) و در نمونه‌های کلسیتی بسیار بالاتر است (رائو و آدابی، ۱۹۹۲) (حدود ۳۰۰ پی‌پی ام)، زیرا ضریب توزیع منگنز در کلسیت حدود ۱۵ می‌باشد و در نتیجه بالا بودن میزان منگنز در کلسیت قابل توجه خواهد بود (برند و وایزر، ۱۹۸۰؛ وایرزبوفسکی و جواچیمیسکی، ۲۰۰۷). ضریب توزیع Mn در دریاهای حدود ۱ است ولی در آبهای متاوریکی حدود ۱۵ می‌باشد (پینگیتور، ۱۹۷۸؛ برند و وایزر،

در نور شدید (زون یوفوتیک)، انرژی متوسط، پایداری نسبتاً کم کف بستر و شرایط الیگوترووفی و تا حدی مزوترووفی می‌باشد. در لاجون نیمه محصور به علت ارتباط با دریایی باز علاوه بر وزن داران بدون منفذ، فرامینیفرها منفذدار نیز حضور دارند و نشان دهنده زون مزوفوتوتیک با میزان انرژی متوسط و شوری نسبتاً بیشتر از حد نرمال دریایی می‌باشد.

ژئوشیمی

تعیین عناصر اصلی و فرعی:

عناصر اصلی Ca، Mg مقادیر عنصر Ca در مقطع مورد مطالعه بین ۲۶ تا ۳۳ درصد و مقدار Mg بین ۱/۸ تا ۳ درصد در تغییر می‌باشد. این ویژگی حاکی از این است که این نمونه‌ها فاقد دولومیت می‌باشد (آدابی، ۲۰۰۹).

استرانسیوم (Sr) به طور کلی کانی شناسی اولیه می‌تواند به عنوان فاکتور کنترل کننده استرانسیوم و منگنز در رسوبات باشد، به طوری که در آراغونیتها معمولاً میزان استرانسیوم بالا و مقدار منگنز پایین است (میلیمان و همکاران، ۱۹۹۳؛ کنترل، ۲۰۰۶).

در برش بلداجی مقدار Sr بین ۱۳۰ تا ۹۸۰ پی‌پی ام و به طور میانگین ۵۵۵ پی‌پی ام در نوسان است. کاهش میزان استرانسیوم به علت تأثیر دیاژنر غیر دریایی احتمالاً از نوع متاوریکی است. ترسیم مقادیر Sr در مقابل Mn در برش بلداجی و مقایسه آن با محدوده‌های ارائه شده در مقالات بین‌المللی (شکل ۴C) حاکی از ترکیب کانی‌شناسی اولیه آراغونیتی این سازند می‌باشد. کربناتهای سازند جهرم در برش گچ نیز دارای همین ویژگی است (خطیبی مهر و همکاران، ۱۳۹۲).

اولیه آراغونیتی در آهک‌های سازند جهرم تایید می‌شود.

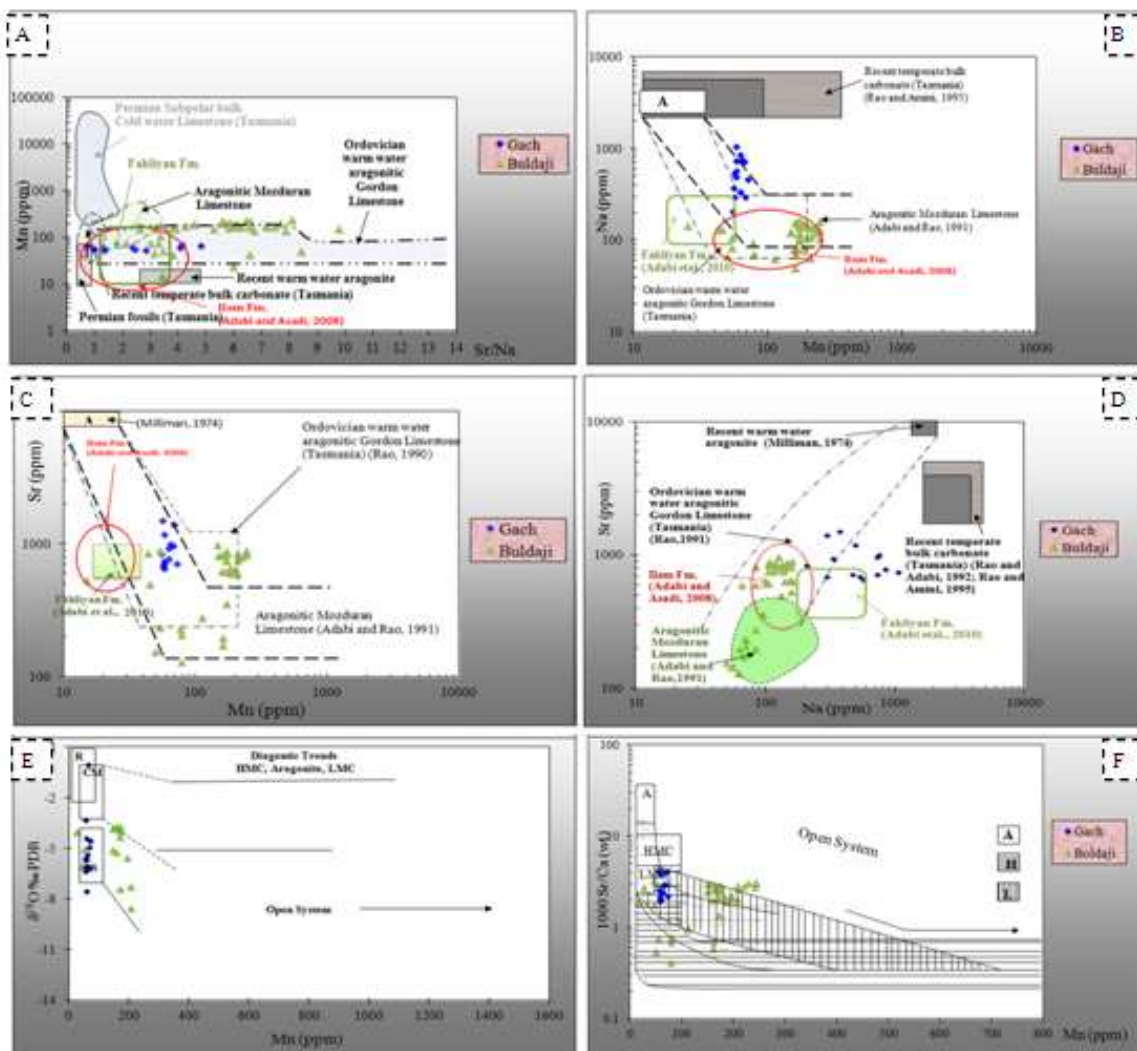
نسبت استرانسیوم به کلسیم (Sr/Ca) در مقابل Mn

بر اساس نسبت Sr/Ca و مقادیر Mn می‌توان به روند دیاژنز غیر دریایی در سیستم‌های باز و بسته و نسبت فعل و انفعالات آب به سنگ و شرایط اکسیداسیون و احیاء پی برد (برند و وایزر، ۱۹۸۰؛ Sijsroo و Lohmen، ۲۰۰۱). بر اساس نسبت Sr نرمال شده توسط کلسیت Sr/Ca در برابر Mn می‌توان به باز و بسته بودن سیستم دیاژنتیکی و بالا رفتن میزان Mn در کلسیت دیاژنتیکی نشان دهنده باز بودن سیستم و تأثیر آبهای احیا کننده می‌باشد (شکل ۴F). در سیستم دیاژنزی باز، با افزایش تبادلات آب به سنگ (Water-rock interaction) میزان Sr/Ca فازهای دیاژنزی نسبت به ترکیبات اولیه کاهش می‌یابد، اما در سیستم دیاژنزی نیمه بسته که فعل و انفعالات آب و سنگ کم باشد، نسبت فازهای دیاژنزی تغییرات محسوسی نسبت به ترکیبات اولیه ندارد. افزایش مقدار Mn در کلسیت دیاژنتیکی نشان دهنده باز بودن سیستم و تأثیر آبهای احیا کننده می‌باشد. به طور کلی کاهش Mn در کلسیت دیاژنتیکی نشانگر بسته بودن سیستم دیاژنتیکی است (Sijsroo و Lohmen، ۲۰۰۱؛ Konorjeg و Moti، ۲۰۰۶). در این شکل کاهش قابل توجه مقادیر Mn و افزایش Sr/Ca در دو برش بلداجی و گچ حاکی از سیستم دیاژنتیکی بسته تا نیمه بسته است.

۱۹۸۰). علاوه بر این افزایش میزان Mn به افزایش فرایندهای دگرسانی بستگی دارد. در سیستم‌های باز مقادیر منگنز افزایش چشمگیری دارد. تمکز Mn در کلسیت با افزایش سرعت رسوب‌گذاری کاهش می‌یابد (پینگیتور و همکاران، ۱۹۸۸؛ Mousi، ۱۹۸۸). در برش بلداجی مقدار Mn بین ۱۵ تا ۲۴۳ پی‌پی‌ام و به طور میانگین ۱۲۹ پی‌پی‌ام در نوسان است. پایین بودن مقادیر Mn در برش‌های بلداجی و گچ حاکی از دگرسانی کم و ترکیب کانی شناسی اولیه آراغونیتی است.

نسبت استرانسیوم به سدیم (Sr/Na)

کربناتهای حاره‌ای دیرینه و عهد حاضر را می‌توان از معادلهای غیر حاره‌ای آنها توسط نسبت استرانسیوم به سدیم (Sr/Na) و میزان Mn تفکیک نمود (Raei، ۱۹۹۱؛ آدابی و Raei، ۱۹۹۱؛ آدابی و همکاران، ۲۰۱۰؛ خطیبی مهر و آدابی، ۲۰۱۳). در سنگ آهک‌های آراغونیتی حاره‌ای عهد حاضر مقدار Mn پایین و نسبت Sr/Na بالا بوده (حدود ۳ تا ۵)، در حالی که در سنگ‌های آهکی کلسیتی مناطق معتدل عهد حاضر مقدار Mn بالا و نسبت Sr/Na پایین (حدود ۱) می‌باشد (Raei، ۱۹۹۱؛ آدابی و اسدی، ۲۰۰۸؛ خطیبی مهر و آدابی، ۲۰۱۳). نمودار تغییرات Sr/Na در مقابل Mn نشان می‌دهد (شکل ۴A) که اغلب نمونه‌های برش‌های بلداجی و کوه گچ دارای Sr/Na بیش از ۱ می‌باشد. با توجه به بالا بودن مقادیر سدیم و استرانسیوم در این کربناتهای ترکیب کانی شناسی



شکل A.۴: تغییرات Mn در مقابل Sr/Na: در این شکل نمونه‌های آهکی کوه گچ و بلداجی با محدوده آراغونیتی حراره‌ای عهد حاضر (میلیمان، ۱۹۷۶)، نمونه‌های کل کربناته مناطق معتدله عهد حاضر (راؤ و آدابی، ۱۹۹۲؛ راؤ و آمینی، ۱۹۹۵) و سنگ آهک‌های آراغونیتی حراره‌ای اردوبسن گوردون تاسمانیا (راؤ، ۱۹۹۱) و سنگ آهک‌های آراغونیتی مزدوران (آدابی و راؤ، ۱۹۹۱)، فسیل‌ها و سنگ آهک‌های نیمه قطبی پرمین تاسمانیا (راؤ، ۱۹۹۱) و سنگ آهک‌آراغونیتی ایلام (آدابی و اسدی، ۲۰۰۸) و آراغونیت‌های اولیه فهلیان (آدابی و همکاران، ۲۰۱۰) مقایسه شده است. اغلب نمونه‌های آهکی برش گچ و بلداجی دارای نسبت Sr/Na بیش از ۱ (یعنی دارای ترکیب کانی‌شناسی آراغونیتی) می‌باشند. (B) روند تغییرات Na در مقابل Mn. همانگونه که ملاحظه می‌شود نمونه‌ها در نزدیکی محدوده آراغونیتی مزدوران و گوردون قرار گرفته‌اند. بالا بودن مقادیر Na در برش گچ به دلیل دگرسانی کمتر و مقادیر پایین Mn در این نمونه‌ها حاکی از نیمه بسته بودن محیط دیاژنتیکی است. (C) تغییرات مقادیر Sr در مقابل Mn. نمونه‌های آهکی این برشهای در نزدیکی محدوده آراغونیتی مزدوران و گوردون قرار گرفته‌اند. (D) تغییرات مقادیر Sr در مقابل Na در سنگ‌های آهکی نشان می‌دهد که ترکیب آهکها در این برش‌ها عمدها آراغونیتی بوده است. (E) دیاگرام $\delta^{18}\text{O}$ در برابر Mn نشان دهنده تأثیر کم دیاژنز متأثوریکی در یک سیستم بسته تا نیمه بسته می‌باشد. (F) تغییرات میزان Sr/Ca در برابر Mn در این شکل کاهش قابل توجه منگنز و بالا بودن مقادیر Sr/Ca حاکی از بسته بودن سیستم دیاژنتیکی در این برش‌ها است. روندهای دیاژنتیکی برای آراغونیت (A)، کلسیت با منیزیم بالا (HMC) و کلسیت کم منیزیم (LMC) که به-

وسیله آبهای متأثریکی ثبیت شده اند (برند و وایزر، ۱۹۸۰). قرارگیری نمونه‌ها نیز تائیدی دیگر بر تأثیر کم دیاژنز متاثریکی در یک سیستم بسته تا نیمه بسته می‌باشد.

جهرم در کوه گچ بین ۷/۵۳٪ - ۰/۰۵ %PDB (میانگین ۳/۷۹ %PDB) است. ایزوتوب کربن در نمونه‌های آهکی سازند جهرم در کوه گچ بین ۰/۵۲ %PDB - ۲/۲۳٪ (میانگین ۰/۸۵ %PDB) در نوسان است.

تغییرات ایزوتوب اکسیژن در برابر ایزوتوب کربن یک ابزار قوی برای تعیین روند دیاژنز است. ایزوتوبهای اکسیژن و کربن به فرایندهای دیاژنز تدفینی اولیه و تاخیری بسیار حساس هستند (ایمنهازر و همکاران، ۲۰۰۸؛ وینسنت و همکاران، ۲۰۱۰).

تغییرات ایزوتوب اکسیژن در برابر ایزوتوب کربن در نهشته‌های آهکی اousن در برش‌های بلداجی و کوه گچ در شکل ۵ بیانگر دیاژنز تدفینی در حضور کم مواد آلی می‌باشد (لوهمن، ۱۹۸۸؛ نلسون و اسمیت، ۱۹۹۶).

تخمین دمای سیال: با استفاده از نمونه‌های با کمترین میزان دگرسانی که دارای سنگینترین ایزوتوب اکسیژن هستند می‌توان به محاسبه دما در طی تدفین اولی با استفاده از معادله اندرسون و آرتور در سال ۱۹۸۳ یا معادله وفر و برگر، ۱۹۹۱ پرداخت. معادله ارائه شده توسط آندرسون و آرتور به قرار زیر است (رابطه ۱):

$$\text{رابطه ۱} \quad T(C^\circ) = 16 - 4.14 (\delta C - \delta W) + 0.13 (\delta C - \delta W)^2$$

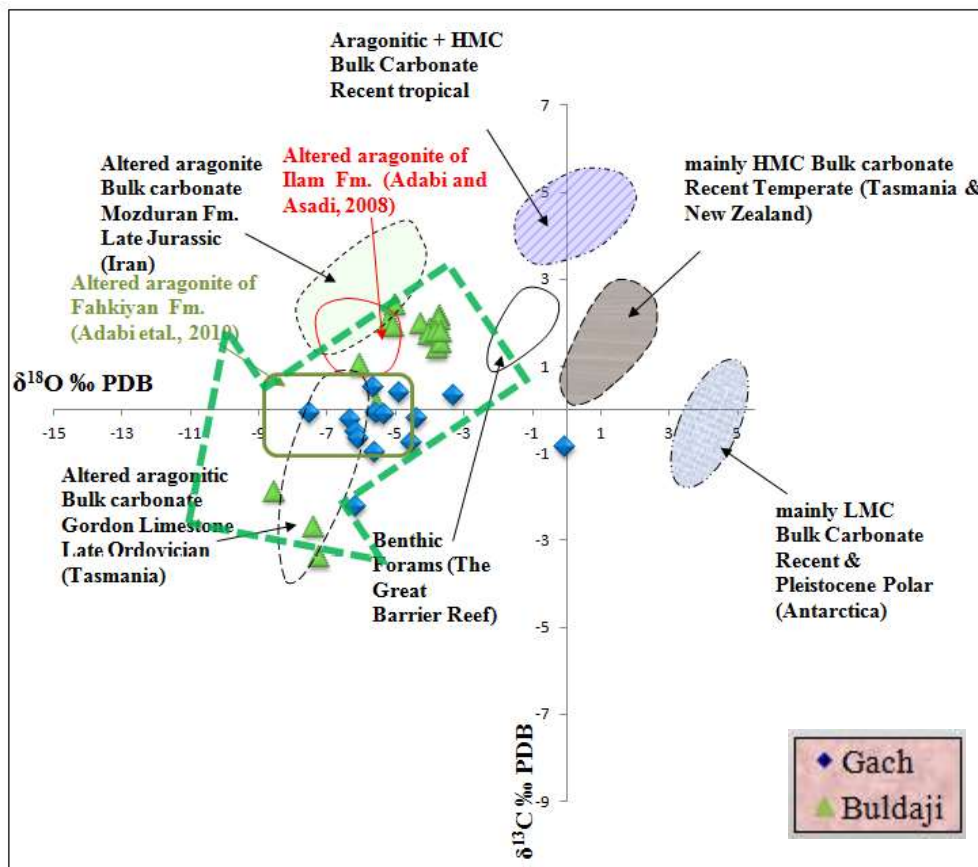
بنابراین با توجه به رابطه بالا، دمای رسوبات اousن در برش بلداجی با استفاده از سنگینترین ایزوتوب اکسیژن ۱۸ (معادل ۳/۶۷٪ %PDB) درجه سانتی‌گراد محاسبه شده است.

ترسیم ایزوتوب اکسیژن در مقابل منگنز در شکل E روندهای دیاژنتیکی برای ترکیبات کلسیت کممنیزیم (LMC)، کلسیت با منیزیم بالا (HMC)، آراغونیت (A)، متسلکله‌های عهد حاضر (Burlington) (R)، محدوده آهکی برلینگتون (Mn) و محدوده آهکهای ریدبی (Readbay) (CS) در کانادا نشان داده شده است (برند و وایزر، ۱۹۸۰). دیاگرام $\delta^{18}\text{O}$ در برابر Mn در دو برش بلداجی و گچ نشان دهنده تأثیر کم دیاژنس متاثریکی در یک سیستم بسته تا نیمه بسته می‌باشد.

ایزوتوب‌های اکسیژن و کربن

با استفاده از مطالعه ایزوتوب‌های اکسیژن ۱۸ و کربن ۱۳ میتوان اطلاعات ارزشمندی پیرامون درجه دمای محیط رسویگذاری، دمای دیاژنتیکی، روندهای دیاژنس در محیط دیاژنتیکی، شوری، عمق رسویگذاری و غیره بدست آورد و کربنات‌های نواحی مختلف را از یکدیگر تفکیک نمود، (مارشال، ۱۹۹۲؛ فلوگل، ۲۰۱۰). به منظور تعیین روند دیاژنس در سنگ آهک‌ها ایزوتوب اکسیژن در مقابل ایزوتوب کربن قرار داده می‌شود و با توجه به تغییرات این دو ایزوتوب می‌توان نوع دیاژنس (متاثریکی، تدفینی و دریایی) را مشخص نمود.

دامنه تغییرات ایزوتوب کربن در نمونه‌های آهکی سازند جهرم در برش کوه بلداجی بین ۳/۳۷ - ۲/۴۴٪ %PDB تا ۳/۶۷٪ %PDB را نشان می‌دهند. میزان ایزوتوب اکسیژن نمونه‌های آهکی رسوبات اousن برش بلداجی بین ۸/۵۶٪ - ۳/۶۷٪ %PDB متغیر است. دامنه تغییرات ایزوتوب اکسیژن در نمونه‌های آهکی سازند



شکل ۵: ترسیم مقادیر ایزوتوب اکسیژن ($\delta^{18}\text{O}$) و کربن ($\delta^{13}\text{C}$) نمونه‌های آهکی برش‌های کوه گچ و بلداجی در مقابل یکدیگر، نمونه‌ها در محدوده یا درون سنگ آهک‌های آراغونیتی سازنده‌ای ایلام (آدابی و اسدی، ۲۰۰۸) و فهلیان (آدابی و همکاران، ۲۰۱۰) قرار گرفته‌اند. روند دیاژنز در این نمونه، دیاژنز تدفینی در حضور مواد آلی می‌باشد.

قبلی جدا می‌شوند. معمولاً در مقطع پلاتفورم کربناتی LST دیده نمی‌شود. در خلال LST سطوح کارستی، دیرینه خاک‌ها (مایکروکودیوم) یا بریدگی‌های فرسایشی به وجود می‌آیند (گیل، ۲۰۰۰). در چینه‌نگاری سکانسی چرخه‌های درجه سوم حاصل از تغییرات نسبی سطح آب دریا اهمیت زیادی دارند. مهم‌ترین عامل کنترل کننده ترکیب رخسارهای کربناتی عمق آب است. تغییرات عمق باعث تغییر منظم انواع دانه‌های اصلی تشکیل دهنده کربنات می‌شوند. بر این اساس ۶ سکانس رسوی در سازند جهرم در برش بلداجی تشخیص داده شدند (پیوست ۱).

سکانس اول TST: سکانس اول شامل بخش

چینه نگاری سکانسی

با استفاده از داده‌های رخساره‌ای زیستی و سنگی می‌توانیم تغییر شرایط محیط دریایی مانند تغییرات عمق را بازسازی و سکانس‌ها را در برش سازند جهرم در منطقه بلداجی تشخیص دهیم. بر اساس قانون والتر پیش‌نشینی یا پس‌نشینی کمربنده‌ای رخساره‌ای بازتاب تعادل بین فضای قابل رسوی و میزان تولید رسوی است.

در HST‌ها روند افزایش عمق، و در HST‌ها کاهش تدریجی عمق حوضه دیده می‌شود. amfs ها سیستم تراکت‌های رسوی HST و TST را از هم جدا می‌کنند. و در رسویات پیش‌رونده سکانس جدید توسط SB از رسویات پیش‌نشین سکانس

نوع دوم (SB_2) است.

سکانس پنجم: با بالا آمدن سطح آب دریا و ایجاد فضای قابل رسوب گذاری TST سکانس پنجم آغاز می شود. این سیستم تراکت با رخساره های ۵ و ۶ مشخص می شود و سطح حداکثر پیش روی (mf_s) این سکانس با رخساره HST ۶ تعیین می گردد. سیستم تراکت رسوی ۲ این سکانس با رخساره های ۶، ۳ و نهایتاً ۲ مشخص می شود. رخساره ۲ (فرامینیفر بدون منفذ پلائید پکستون) مرز سکانسی نوع دوم مرز بالایی سکانس ۵ را مشخص می کند.

سکانس ششم: سیستم تراکت رسوی TST با رخساره های ۳ و ۶ مشخص می شود و رخساره ۹، مارن با فون های پلانکتون سطح حداکثر پیشروی (mf_s) را نشان می دهد. سیستم تراکت رسوی HST با رخساره های ۸، ۶ مشخص می شود (پیوست ۱).

نتیجه گیری

برش بلداجی با ضخامت ۱۷۲ متر از رسوبات آهکی سازند جهرم با سن ائوسن میانی تا فوکانی برداشت شده است. مرز بالایی این برش پوشیده شده می باشد. مطالعات پتروگرافی بر روی مقاطع نازک و فرامینیفرهای مختلف موجود باعث گردیده است تا بتوان رخساره های گوناگون بر اساس تنوع فرامینیفرها و تغییرات عمق آب در توالی رسوی پیش بینی نمود. بر این اساس ۹ رخساره رسوی شناسایی گردید که از بخش کم عمق به سمت عمیق شامل: ۱- آلوئولینا میلیولید- اینترالکلاستیک پلائیدال پکستون- گرینستون- ۲- فرامینیفرایا بدون منفذ پلائید پکستون- رودستون- ۳- بایوکلاست نومولیتیده آلوئولینیده پلائید وکستون پکستون / فلوتستون- رودستون- ۴- کورالیناسه آ دیسکوسیکلینیده نومولیتیده

بالایی سازند پابده است که در زیر سازند جهرم قرار دارد. حد بین مارن های سبز پابده با رخساره ۷ (برش آهکی) احتمالاً به عنوان سطح حداکثر پیش روی در نظر گرفته می شود. رخساره های ۸، ۵ و ۷ به عنوان سیستم تراکت پیشروند (HST) این سکانس در نظر گرفته می شود و حد بالایی سکانس اول با سکانس دوم در رأس رخساره ۷ قرار می گیرد.

سکانس دوم: سیستم تراکت رسوی پیشروند این سکانس (TST) با رخساره های ۸ شروع می شود و سطح حداکثر پیش روی (mf_s) با رخساره ۹ (رخساره مارن) مشخص می شود. HST این سکانس با رخساره های شلف میانی (رخساره های ۸، ۶، ۵ و ۴) آغاز و با رخساره ۷ (برش آهکی) خاتمه می یابد. بخش بالایی این رخساره به عنوان مرز سکانس نوع دوم (SB_2) با رخساره ۶ مشخص می شود.

سکانس سوم: با بالا آمدن مجدد سطح آب دریا سیستم تراکت رسوی پیشروند (TST) سکانس سوم آغاز می گردد. این سیستم تراکت با رخساره های ۶ و ۸ مشخص می شود. سطح حداکثر پیشروی (mf_s) در بالای رخساره ۸ (وکستون حاوی فرامینیفرها پلانکتون، نومولیتیده و دیسکوسیکلینیده) مشخص می شود. سیستم تراکت رسوی پیشروند (HST) با رخساره های ۳ مشخص می گردد. مرز سکانس ۳ و سکانس ۴ از نوع دوم (SB_2) بوده و در رأس رخساره ۳ قرار می گیرد.

سکانس چهارم TST: این سکانس با رخساره های ۶، ۵ و ۸ مشخص می گردد. رخساره ۸ سطح حداکثر پیشروی (mf_s) مشخص می شود. HST این سکانس با رخساره های ۶، ۵ و ۳ تعیین می گردد. مرز سکانسی سکانس چهارم با سکانس پنجم با رخساره ۱ مشخص می شود و از

بررسی مقادیر ایزوتوپ اکسیژن و کربن آهک‌ها و مقایسه آنها با سایر محدوده‌ها نشانگر روند دیاژنز تدفینی در حضور مواد آلی می‌باشد. دمای اولیه دیاژنتیکی (هنگامی که رسوبات در نزدیک سطح بوده‌اند، عمق کم تدفین) با استفاده از سنگین‌ترین ایزوتوپ اکسیژن $\Delta^{18}\text{O}$ (معادل -3‰ PDB)، معادل 29°C درجه سانتی‌گراد محاسبه شده است.

بر اساس مطالعات صحرایی و بررسی تغییرات عمودی رخساره‌ها در این توالیها، ۶ سکانس رسوبی درجه سوم تشخیص داده شده است. مرز سکانس‌ها در این برش از نوع SB_2 و مرز بیشترین بالا آمدگی سطح آب دریا (mfs) بر اساس عمیق‌ترین رخساره‌ها مشخص گردیده است. رخساره‌ها در سیستم تراکت پیش رونده (TST) عمدتاً شامل رخساره‌های مارنی، وکستونی تا پکستونی است و حاوی فرامینیفرهای منفذدار فراوان می‌باشد. سیستم تراکت تراز بالا (HST) شامل رخساره‌های گرینستونی (ریفی)، همراه با رخساره‌های وکستونی- پکستونی تا روداستونی محیط لاغون است که عمدتاً حاوی فرامینیفرهای با پوسته پورسلانوز می‌باشد.

بنتیک. فصلنامه علمی - پژوهشی زمین‌شناسی ایران، شماره ۹، بهار ۱۳۸۸، ص ۸۷-۱۰۲.
خطیبی مهر، م.، آدابی، م. ح.، موسوی طسوج، م. ر.، وزیری مقدم، ح.، صادقی، ع.، ۱۳۹۲.
میکروفاسیس، ژئوشیمی و محیط رسوبی سازند جهرم در کوه گج، در جنوب شرقی شهر لار. فصلنامه علمی - پژوهشی زمین‌شناسی ایران، شماره ۲۶، تابستان ۱۳۹۲، ص ۹۷-۱۱۸.

-Adabi, M.H., and Rao, C.P., 1991. Petrographic and geochemical evidence for original aragonitic mineralogy of Upper Jurassic carbonates (Mozduran

فلوتستون-رودستون-۵ دیسکوسيکلینیده نومولیتیده (پوسته‌های کوچک و عدسی شکل) وکستون - پکستون - ۶- بايوکلاست دیسکوسيکلینیده نومولیتیده (پوسته‌های بزرگ و باریک) وکستون - پکستون / فلوتستون-رودستون ۷- رخساره برش آهکی (رخساره توربیدیاتی) ۸- پلانکتونیک فرامینیفرای نومولیتیده دیسکوسيکلینیده وکستون ۹- رخساره مارن می‌باشد.

محیط رسوبی سازند جهرم در برش بلداجی محیط شلف از نوع حاشیه‌دار (حاوی رخساره توربیدیاتی) می‌باشد. مطالعات پتروگرافی همراه با مطالعات ژئوشیمیایی عنصری و ایزوتوپی در نمونه‌های سنگ آهک سازند جهرم در برش - بلداجی و مقایسه آن با کوه گج حاکی از مینرالوژی اولیه آراغونیتی است. همچنین نسبت Sr/Na (بیشتر از یک) نیز دلیل دیگر بر تائید کانی‌شناسی اولیه آراغونیتی آن‌ها می‌باشد. ترسیم مقادیر Mn در برابر Sr/Ca و $\delta^{18}\text{O}$ در مقابل Mn نشان‌دهنده محیط دیاژنزی بسته تا نیمه بسته همراه با تبادل بسیار کم آب به سنگ در آهک-های سازند جهرم است.

منابع

- بختیاری، س.، ۱۳۹۰. اطلس راههای ایران، موسسه جغرافیایی و کارتوگرافی گیتاشناسی، ۳۲۰ ص.
- خطیبی مهر، م.، و معلمی، س.ع.، ۱۳۸۸. مقایسه تاریخچه رسوب‌گذاری سازندهای جهرم (زاگرس) و زیارت (البرز) بر مبنای فرامینیفرهای

Formation), Sarakhs area, Iran. Sedimentary Geology, v. 72, p. 253-267.

- Adabi, M.H., and Asadi Mehandost, E., 2008. Microfacies and geochemistry of the Ilam formation in the Tang-e Rashid area, Izeh, SW Iran. *Journal of Asian Earth Sciences*, v. 33, p. 267-277.
- Adabi, M.H., 2009. Multistage dolomitization of Upper Jurassic Mozduran Formation, Kopet-Dagh Basin, N.E. Iran. *Carbonates and Evaporites*, v. 24, p. 16- 32.
- Adabi, M.H., Salehi, M.A., and Ghabeishavi, A., 2010. Depositional environment, sequence stratigraphy and geochemistry of Lower Cretaceous carbonates (Fahliyan Formation), southwest Iran. *Journal of Asian Earth Sciences*, v. 39, p.148–160.
- Anderson, T.F., and Arthur, M.A., 1983. Stable isotopes of oxygen and carbon and their application to sedimentologic and paleoenvironmental problems. in: *Stable isotope in sedimentary geology*, Society of Economic Paleontologists and Mineralogists, Short Course, v. 10, p. 1-151.
- Barattolo, F., Bassi, D. and Romero, R., 2007. Upper Eocene larger foraminiferal-coralline algal facies from the Klokova Mountain (south continental Greece). *Facies*, v. 53, p. 361–375.
- Brand, U., and Veizer, J., 1980. Chemical diagenesis of a multicomponent carbonate system- 1: trace elements. *Journal of Sedimentary Petrology*, v. 50, p. 1219- 1236.
- Brigaud, B., Durlet, C., Deconinck, J.F., Vincent, B., and Puceat, E., 2009. Facies and climate/ environmental changes recorded on a carbonate ramp. A sedimentological and geochemical approach on Middle Jurassic carbonates (Paris Basin, France). *Sedimentary Geology*, v. 222, p. 181- 206.
- Cantrell, D. L., 2006. Cortical fabrics of Upper Jurassic ooid, Arab Formation, Saudi Arabia: Implication for original carbonate mineralogy, *Sedimentary Geology*, v. 186, p. 157- 170.
- Corda, L., and Brandano, M., 2003. Aphotic zone carbonate production on a Miocene ramp, Central Apennines, Italy. *Sedimentary Geology*, v. 161, p. 55–70.
- Cosovic, V., Drobne, K., and Moro, K., 2004. Paleoenvironmental model for Eocene foraminiferal limestones of Adriatic carbonate platform (Istrian Peninsula). *Facies*, v. 50, p. 61-75.
- Cicero, A., and Lohmann, K.C., 2001. Sr/Mg variation during rock- water interaction: implication for secular changes in the elemental chemistry of ancient seawater. *Geochimical et Cosmochimical Acta*. v. 65, p. 741-761.
- Dunham, R. J., 1962. Classification of carbonate rocks according to depositional texture, in W. E. Ham, ed., *Classification of carbonate rocks*. American Association of Petroleum Geologists Memoir, v. 1, p. 108-121.
- Flügel, E., 2010. *Microfacies of Carbonates Rocks, Analysis, Interpretation and Application*. Springer, -Varlag, 1006 P.
- Geel, T., 2000. Recognition of stratigraphic sequence in carbonate platform and slope deposits: empirical models based on microfacies analysis of Palaeogene deposits in southeastern Spain. *Palaeogeography, Palaeoclimatology, Palaeoecology*, v. 155, p. 211-238.
- Immenhauser, A., Holmden, C., and Patterson, W.P., 2008. Interpreting the carbon isotope record of ancient shallow epeiric sea: Lesson from the recent. In; Pratt, B.R., Holmden. C., (eds.). *Dynamic of epeiric seas*. Geological Association of Canada, Special Publication, p. 135-174.
- Khatibi Mehr, M. and Adabi, M.H., 2013. Microfacies and geochemical evidence for original aragonite

- mineralogy of a foraminifera-dominated carbonate ramp system in the late Paleocene to Middle Eocene, Alborz basin, Iran. *Carbonates and Evaporites*, v. 79, p. 1-21.
- Knorich, A.C., and Mutti, M., 2006. Missing aragonitic biota and the diagenetic evolution of Heterozoan carbonates: a case study from the Oligo-Miocene of the central Mediterranean. *Journal of Sedimentary Research*, v. 76, p. 871-888.
- Land, L.S., and Hoops, G.K., 1973. Sodium in carbonate sediments and rocks: a possible index to the salinity of diagenetic solutions. *Journal of Sedimentary Petrology*, v. 43, p. 614-617.
- Leutenegger, S., 1984. Symbiosis in benthic foraminifera, specificity and host adaptations. *Journal of Foraminiferal Researches*, v. 14, p. 16-35.
- Marshall, J.D., 1992. Climatic and oceanographic isotopic signals from the carbonate rock record and their preservation. *Geological Magazine*, v. 129, p. 143-160.
- Lohmann, K.C., 1988. Geochemical patterns of meteoric diagenetic systems and their application to studies of paleokarst. In: James, N.P., & Choquette, P.W., (Eds.), *Paleokarst*: New York, Springer-Verlag, p. 58-80.
- Milliman, J.D., Freile, D., Steinen, R.P., and Wilber, R. J., 1993. Great Bahama Bank aragonite muds: mostly inorganically precipitated, mostly exported. *Journal of Sedimentary Petrology*, v. 63, p. 589-595.
- Mucci, A., 1988. Manganese uptake during calcite precipitation from seawater: conditions leading to the formation of a pseudokutnahorite. *Geochimica et Cosmochimica Acta*, v.52, p. 1859-1868.
- Nelson, C.S., and Smith, A. M., 1996. Stable oxygen and carbon isotope compositional fields for skeletal and diagenetic components in New Zealand Cenozoic nontropical carbonate sediments and limestones: a synthesis and review. *New Zealand Journal of Geology and Geophysics*, v. 39, p. 93-107.
- Pedley, M., 1996. Miocene reef facies of Pelagian region (Central Mediterranean region). In: Franseen EK, Esteben M, Ward WC, Rouchy JM (eds) *Models for carbonate stratigraphy from Miocene Reef complexes of Mediterranean Regions: SEPM Concept Sediment Paleontology*, v. 5, p. 247-259.
- Pomar, L., 2001. Types of carbonate platforms: a genetic approach: *Basin Res*, v. 13, p. 313-334.
- Pomar, L., Brandano, M., and Westphal, H., 2004. Environmental factors influencing skeletal grain sediment associations: a critical review of Miocene examples from the western Mediterranean. *Sedimentology*, v. 51, p. 627-651.
- Rao, C.P., 1990. Geochemical characteristics of cool-temperate carbonates, Tasmania, Australia. *Carbonates and Evaporites*, v. 5, p. 209-221.
- Rao, C.P., 1991. Geochemical differences between subtropical (Ordovician), temperate (Recent and Pleistocene) and subpolar (Permian) carbonates, Tasmania, Australia. *Carbonates and Evaporites*, v. 10, p. 114-123.
- Rao, C.P., and Adabi, M.H., 1992. Carbonate minerals, major and minor elements and oxygen and carbon isotopes and their variation with water depth in cool, temperate carbonates, western Tasmania, Australia. *Marine Geology*, v. 103, p. 249-272.
- Rao, C.P. and Amini, Z.Z., 1995. Faunal relationship to grain-size, mineralogy and geochemistry in recent

- temperate shelf carbonates, western Tasmania, Australia. *Carbonates and Evaporites*, v. 10, p. 114-123.
- Rasser, M. W., 2000. Coralline red algal limestone of the Late Eocene Alpine Foreland Basin in Upper Austria: component analysis, facies and paleoecology. *Facies*, v.42,p. 59-92.
- Rasser, M.W., Scheibner, C. and Mutti, M., 2005. A paleoenvironmental standard section for Early Ilerdian tropical carbonate factories (Corbieres, France; Pyrenees, Spain). *Facies*, v. 51, p. 217–232.
- Renema, W., 2006. Large benthic foraminifera from the deep photic zone of mixed siliciclastic-carbonate shelf of East Kalimantan, Indonesia: *Marine Micropaleontology*, v. 58, P. 73-82.
- Romero, J., Caus, E., and Rossel, J., 2002. A model for the palaeoenvironmental distribution of larger foraminifera based on Late Middle Eocene deposits on the margin of the south Pyrenean basin (SE Spain) *Palaeogeography Palaeoclimatology Palaeoecology*, v.179, p. 43–56.
- Pingitore N.E., Eastman, M. P., Sandideg, M., Oden, K., and Freiha, B., 1988. The coprecipitation of manganese with calcite, an experimental study. *Marine Chemistry*, v. 25, p. 107- 120.
- Vecsei, A. and Sanders, D., 1999. Facies analysis and sequence stratigraphy of a Miocene warm-temperate carbonate ramp, Montagna della Maiella, Italy. *Sedimentary Geology*, v. 123, p. 103 -127.
- Vincent, B., Van Buchem, F.S.P., Bulot, L.G., Immenhauser, A., Caron. M., Baghbani.D.,andHuc. A.Y., 2010. Carbon- isotope stratigraphy and organic matter distribution in the Aptian- Lower Albian successions of southwest Iran (Dariyan and Kazhdumi formations). *GeoArabia Special Publication*, v. 4, p. 139-197.
- Wefer, G. and Berger, W.H., 1991. Isotope paleontology: growth and composition of extent calcareous species. *Marine Geology*, v. 100, p. 207-248.
- Wierzbowski, H., and Joachimski, M., 2007. Reconstruction of late Bajocian – Bathonian marine palaeoenvironments using carbon and oxygen isotope ratios of calcareous fossils from the Polish Jura Chain (Central Poland), *Palaeogeography, Palaeoclimatology, Palaeoecology*, v. 254, p. 523- 540.
- Wilson, J.L., 1975. *Carbonate Facies in Geologic History*. Springer-Verlag, New York, 471 p.

پیوست ۱

